# ФГБУ «Арктический и антарктический научно-исследовательский институт» МЦД МЛ

Информационные материалы по мониторингу морского ледяного покрова Арктики и Южного Океана на основе данных ледового картирования и пассивного микроволнового зондирования SSMR-SSM/I-SSMIS

08.10.2012 -16.10.2012

Контактная информация:

лаб. МЦДМЛ ААНИИ, тел. +7(812)337-3149, эл.почта: <u>wdc@aari.ru</u>

Адрес в сети Интернет: <a href="http://wdc.aari.ru/datasets/doo42/">http://wdc.aari.ru/datasets/doo42/</a>

## Содержание

Северное Полушарие	.4
Рисунок 1а – Обзорная ледовая карта СЛО за 08.10-16.10.2012 г. на основе ледового анализа ААНИИ	
(16.10.2012), Канадской ледовой службы (08.10.2012), Национального ледового центра США(море Бофорта,	
08.10.2012) и повторяемость кромки за 11.10-15.10 за период 1979-2012 гг. по наблюдениям SSMR-SSM/I-	-
SSMIS (алгоритм NASATEAM).	.4
Рисунок 1б – Положение кромки льда (районов безледокольного плаванья) и сплоченных льдов СЛО за	_
15.10.2012 г. на основе ледового анализа Национального Ледового Центра США и повторяемость кромки за	
11.10-15.10 за период 1979-2012 гг. по наблюдениям SSMR-SSM/I-SSMIS (алгоритм NASATEAM)	
Рисунок 1в — Обзорная ледовая карта СЛО за 08.10-16.10.2012 г. и аналогичные периоды 2007-2011 гг. на	<u>ب.</u>
основе ледового анализа ААНИИ, Канадской ледовой и Национального ледового центра США	6
основе ледового анализа ААТИИ, канадскои ледовои и пационального ледового центра СПА Таблица 1 – Динамика изменения значений ледовитости по сравнению с предыдущей неделей для морей	<u>.u</u>
1	7
Северной полярной области за 8 – 14 октября 2012 г. по данным наблюдений SSMR-SSM/I-SSMIS	
Таблица 2 - Медианные значения ледовитости для Северной полярной области и 3-х меридиональных	
<u>секторов за 1–14 октября и 8 – 14 октября 2012 г. и её аномалии от 2008-2011 гг. и интервалов 2002-2012 гг.</u>	
<u>и 1978-2012 гг. по данным наблюдений SSMR-SSM/I-SSMIS, алгоритм NASATEAM</u>	./
<u>Таблица 3 – Экстремальные и средние значения ледовитости для Северной полярной области и 3</u>	
меридиональных секторов за 8 – 14 октября 1979-2012 гг. по данным наблюдений SSMR-SSM/I-SSMIS,	
алгоритм NASATEAM.	<u>.7</u>
<u>Рисунок 2 – Положение кромки льда (районов безледокольного плаванья) в МЕТЗОНах XX-XXI на</u>	
16.10.2012 1200UTC	<u>.9</u>
Рисунок 3 – Ежедневные оценки сезонного хода ледовитости для Северной Полярной Области и трех	
меридиональных секторов за период 26.10.1978 - 14.10.2012 по годам на основе расчетов по данным SSMR-	
SSM/I-SSMIS, алгоритм NASATEAM: а) Северная полярная область, б) сектор 45°W-95°E (Гренландское –	
Карское моря), в) сектор 95°E-170°W (моря Лаптевых – Чукотское и Берингово, Охотское), г) сектор	
170°W-45°W (море Бофорта и Канадская Арктика)	10
Рисунок 4 – Медианные распределения сплоченности льда за периоды 8 – 14 октября и 1 - 14 октября 2012 г	
(слева) и её разности относительно медианного распределения за те же месяца за периоды 1979-2012 (центр)	
и 2002-2012 гг. (справа) на основе расчетов по данным SSMR-SSM/I-SSMIS, алгоритм NASATEAM	
	12
Рисунок 5 – Положение кромки льда (районов безледокольного плаванья) и сплоченных льдов Южного	
Океана за 15.10.2012 г. на основе ледового анализа Национального Ледового Центра США и повторяемость	
кромки за 11.10-15.10 за период 1979-2012 гг. по наблюдениям SSMR-SSM/I-SSMIS (алгоритм NASATEAM)	<u>).</u>
кромки за 11.10-15.10 за период 1979-2012 гг. по наблюдениям SSMR-SSM/I-SSMIS (алгоритм NASATEAM)	<u>).</u>
кромки за 11.10-15.10 за период 1979-2012 гг. по наблюдениям SSMR-SSM/I-SSMIS (алгоритм NASATEAM)  1 1	) <u>.</u> 12 12
кромки за 11.10-15.10 за период 1979-2012 гг. по наблюдениям SSMR-SSM/I-SSMIS (алгоритм NASATEAM)  1 1 1 2 2 3 3 4 4 5 6 7 8 8 8 8 9 8 9 8 9 9 9 9 9 9 9 9 9 9 9	) <u>.</u> 12 12
кромки за 11.10-15.10 за период 1979-2012 гг. по наблюдениям SSMR-SSM/I-SSMIS (алгоритм NASATEAM)  ———————————————————————————————————	) <u>.</u> 12 12
кромки за 11.10-15.10 за период 1979-2012 гг. по наблюдениям SSMR-SSM/I-SSMIS (алгоритм NASATEAM)  ———————————————————————————————————	). 12 12 a
кромки за 11.10-15.10 за период 1979-2012 гг. по наблюдениям SSMR-SSM/I-SSMIS (алгоритм NASATEAM)	). 1 <u>2</u> 1 <u>2</u> а
кромки за 11.10-15.10 за период 1979-2012 гг. по наблюдениям SSMR-SSM/I-SSMIS (алгоритм NASATEAM)	). 12 12 ва
кромки за 11.10-15.10 за период 1979-2012 гг. по наблюдениям SSMR-SSM/I-SSMIS (алгоритм NASATEAM)  ———————————————————————————————————	). 12 12 13 я
кромки за 11.10-15.10 за период 1979-2012 гг. по наблюдениям SSMR-SSM/I-SSMIS (алгоритм NASATEAM 1	) <u>.</u> 12 12 ва 13
кромки за 11.10-15.10 за период 1979-2012 гг. по наблюдениям SSMR-SSM/I-SSMIS (алгоритм NASATEAM)  ———————————————————————————————————	). 12 12 13 я
кромки за 11.10-15.10 за период 1979-2012 гг. по наблюдениям SSMR-SSM/I-SSMIS (алгоритм NASATEAM)  ———————————————————————————————————	). 12 12 8 13 9 14
кромки за 11.10-15.10 за период 1979-2012 гг. по наблюдениям SSMR-SSM/I-SSMIS (алгоритм NASATEAM)  ———————————————————————————————————	). 12 12 13 13 14
кромки за 11.10-15.10 за период 1979-2012 гг. по наблюдениям SSMR-SSM/I-SSMIS (алгоритм NASATEAM) присунок 6 — Ежедневные оценки сезонного хода ледовитости Южного Океана и меридиональных секторов з период 26.10.1978 - 14.10.2012 по годам на основе расчетов по данным SSMR-SSM/I-SSMIS, алгоритм NASATEAM: а) Южный Океан, б) Атлантический сектор (60°W-30°E, море Уэдделла), в) Индоокеанский сектор (30°E-150°E, моря Космонавтов, Содружества, Моусона), г) Тихоокеанский сектор (150°E-60°W, мор. Росса, Беллинсгаузена) рисунок 7 — Медианные распределения общей сплоченности льда за периоды 8 — 14 октября и 1 — 14 октября 2012 г. (слева) и её разности относительно медианного распределения за тот же месяц за периоды 1979-2012 (пентр) и 2002-2012 гг. (справа) на основе расчетов по данным SSMR-SSM/I-SSMIS, алгоритм NASATEAM1 Таблица 4 — Динамика изменения значений ледовитости по сравнению с предыдущей неделей для морей Южного океана за 8 — 14 октября 2012 г. по данным наблюдений SSMR-SSM/I-SSMIS. 1 Таблица 5 - Медианные значения ледовитости для Южного океана и 3 меридиональных секторов за 1— 14	). 12 12 13 13 14
кромки за 11.10-15.10 за период 1979-2012 гг. по наблюдениям SSMR-SSM/I-SSMIS (алгоритм NASATEAM	). 12 12 13 13 14
кромки за 11.10-15.10 за период 1979-2012 гг. по наблюдениям SSMR-SSM/I-SSMIS (алгоритм NASATEAM	). 12 12 13 13 14
кромки за 11.10-15.10 за период 1979-2012 гг. по наблюдениям SSMR-SSM/I-SSMIS (алгоритм NASATEAM — — — — — — — — — — — — — — — — — — —	). 12 12 13 13 14 15 0
кромки за 11.10-15.10 за период 1979-2012 гг. по наблюдениям SSMR-SSM/I-SSMIS (алгоритм NASATEAM — — — — — — — — — — — — — — — — — — —	). 12 12 13 14 15 0 15
кромки за 11.10-15.10 за период 1979-2012 гг. по наблюдениям SSMR-SSM/I-SSMIS (алгоритм NASATEAM —	). 12 12 13 13 14 15 0 15
кромки за 11.10-15.10 за период 1979-2012 гг. по наблюдениям SSMR-SSM/I-SSMÍS (алгоритм NAŠATEAM	). 12 12 13 13 14 15 15
кромки за 11.10-15.10 за период 1979-2012 гг. по наблюдениям SSMR-SSM/I-SSMIS (алгоритм NASATEAM — — — — — — — — — — — — — — — — — — —	). 12 12 13 14 15 15 16
кромки за 11.10-15.10 за период 1979-2012 гг. по наблюдениям SSMR-SSM/I-SSMÍS (алгоритм NAŚATEAM	). 12 12 13 13 14 15 15 16
кромки за 11.10-15.10 за период 1979-2012 гг. по наблюдениям SSMR-SSM/I-SSMIS (алгоритм NASATEAM	). 12 12 13 14 15 15 16
кромки за 11.10-15.10 за период 1979-2012 гг. по наблюдениям SSMR-SSM/I-SSMÍS (алгоритм NAŚATEAM	). 12 12 13 14 15 015 16
кромки за 11.10-15.10 за период 1979-2012 гг. по наблюдениям SSMR-SSM/I-SSMÍS (алгоритм NAŚATEAM	). 12 12 13 13 14 15 16 16
кромки за 11.10-15.10 за период 1979-2012 гг. по наблюдениям SSMR-SSM/I-SSMIS (алгоритм NASATEAM	). 12 12 13 13 14 15 16 16
кромки за 11.10-15.10 за период 1979-2012 гг. по наблюдениям SSMR-SSM/I-SSMÍS (алгоритм NASATEAM)  Рисунок 6 — Ежедневные оценки сезонного хода ледовитости Южного Океана и меридиональных секторов з период 26.10.1978 - 14.10.2012 по годам на основе расчетов по данным SSMR-SSM/I-SSMIS, алгоритм NASATEAM: а) Южный Океан, б) Атлантический сектор (60°W-30°E, море Уэдделла), в) Индоокеанский сектор (30°E-150°E, моря Космонавтов, Содружества, Моусона), г) Тихоокеанский сектор (150°E-60°W, мор Росса, Беллинстаузена)  Рисунок 7 — Медианные распределения общей сплоченности льда за периоды 8 — 14 октября и 1 — 14 октября 2012 г. (слева) и её разности относительно медианного распределения за тот же месяц за периоды 1979-2012 (центр) и 2002-2012 гг. (справа) на основе расчетов по данным SSMR-SSM/I-SSMIS, алгоритм NASATEAM1 Таблица 4 — Динамика изменения значений ледовитости по сравнению с предълупий неделей для морей Южного океана за 8 — 14 октября 2012 г. по данным наблюдений SSMR-SSM/I-SSMIS.  Таблица 5 - Медианные значения ледовитости для Южного океана и 3 меридиональных секторов за 1— 14 октября 10°2 г. и её аномалии от 2008-2011 гг. и интервалов 2002-2012 гг. и 1978-2012 гг. по данным наблюдений SSMR-SSM/I-SSMIS, алгоритм NASATEAM.  Таблица 6 — Экстремальные и средние значения ледовитости для Южного океана и 3 меридиональных секторов за 8 — 14 октября 1979-2012 гг. по данным наблюдений SSMR-SSM/I-SSMIS, алгоритм NASATEAM.  Приложение 1 — Статистические значения ледовитостей по отдельным акваториям Северной Полярной области и Южного океана за 1— 14 октября и 8 — 14 октября 2012 г. и её аномалии от 2008-2011 гг. и интервалов 2002-2012 гг. и 1978-2012 гг. по данным наблюдений SSMR-SSM/I-SSMIS.  Приложение 1 — Статистические значения ледовитости для морей Северной полярной области и Южного океана за 1— 14 октября и 8— 14 октября 2012 г. и её аномалии от 2008-2011 гг. и интервалов 2002-2012 гг. и 1978-2012 гг. по данным наблюдений SSMR-SSM/I-SSMIS.  Таблица 8 — Экстремальные и средние значения ледовитости для морей Северно	). 12 12 13 14 15 15 16 16 19
кромки за 11.10-15.10 за период 1979-2012 гг. по наблюдениям SSMR-SSM/I-SSMÍS (алгоритм NAŠATEAM I Рисунок 6 — Ежедневные оценки сезонного хода ледовитости Южного Океана и меридиональных секторов з период 26.10.1978 - 14.10.2012 по годам на основе расчетов по данным SSMR-SSM/I-SSMIS, алгоритм NASATEAM: а) Южный Океан, б) Атлантический сектор (60°W-30°E, море Уэдлелла), в) Индоокеанский сектор (30°E-150°E, моря Космонавтов, Содружества, Моусона), г) Тихоокеанский сектор (150°E-60°W, мор Росса, Беллинсгаузена)  Рисунок 7 — Медианные распределения общей сплоченности льда за периоды 8 — 14 октября и 1 — 14 октября 2012 г. (слева) и её разности относительно медианного распределения за тот же месяц за периоды 1979-2012 (центр) и 2002-2012 гг. (справа) на основе расчетов по данным SSMR-SSM/I-SSMIS, алгоритм NASATEAM Таблица 4 — Динамика изменения значений ледовитости по сравнению с предълдущей неделей для морей Южного океана за 8 — 14 октября 2012 г. по данным наблюдений SSMR-SSM/I-SSMIS.  Паблица 5 — Медианные значения ледовитости для Южного океана и 3 меридиональных секторов за 1— 14 октября и 8 — 14 октября 2012 г. и её аномалии от 2008-2011 гг. и интервалов 2002-2012 гг. и 1978-2012 гг. по данным наблюдений SSMR-SSM/I-SSMIS, алгоритм NASATEAM.  Таблица 6 — Экстремальные и средние значения ледовитости для Южного океана и 3 меридиональных секторов за 8 — 14 октября 1979-2012 гг. по данным наблюдений SSMR-SSM/I-SSMIS, алгоритм NASATEAM.  Таблица 7 — Медианные значения ледовитости для отдельным морей Северной полярной области и Южного океана за 1 — 14 октября и 8 — 14 октября 2012 г. и её аномалии от 2008-2011 гг. и интервалов 2002-2012 гг. и 1978-2012 гг. по данным наблюдений SSMR-SSM/I-SSMIS.  Таблица 7 — Медианные значения ледовитости для отдельных морей Северной полярной области и Южного океана за 1 — 14 октября 1979-2012 гг. по данным наблюдений SSMR-SSM/I-SSMIS.  Таблица 8 — Экстремальные и средние значения ледовитости по сравнению с предылише неделей для морей Северной полярной области и Южного океана за 8 — 1	). 12 12 12 12 13 13 13 14 14 15 15 16 16 11 11 11 11 11
кромки за 11.10-15.10 за период 1979-2012 гг. по наблюдениям SSMR-SSM/I-SSMIS (алгоритм NASATEAM Pисунок 6 — Ежедневные оценки сезонного хода ледовитости Южного Океана и меридиональных секторов з период 26.10.1978 - 14.10.2012 по годам на основе расчетов по данным SSMR-SSM/I-SSMIS, алгоритм NASATEAM: а) Южный Океан, б) Атлантический сектор (60°W-30°E, море Уэдделла), в) Индоокеанский сектор (30°E-150°E, моря Космонавтов, Содружества, Моусона), г) Тихоокеанский сектор (150°E-60°W, мор Росса, Беллинстаузена).  Рисунок 7 — Медианные распределения общей сплоченности льда за периоды 8 — 14 октября и 1 — 14 октября 2012 г. (слева) и её разности относительно медианного распределения за тот же месяц за периоды 1979-2012 (центр) и 2002-2012 гг. (справа) на основе расчетов по данным SSMR-SSM/I-SSMIS, алгоритм NASATEAM Таблица 4 — Динамика изменения значений ледовитости по сравнению с предыдущей нелелей для морей Южного океана за 8 — 14 октября 2012 г. по данным наблюдений SSMR-SSM/I-SSMIS.  Таблица 5 - Медианные значения ледовитости для Южного океана и 3 меридиональных секторов за 1— 14 октября 2012 г. и её аномалии от 2008-2011 гг. и интервалов 2002-2012 гг. и 1978-2012 гг. по данным наблюдений SSMR-SSM/I-SSMIS, алгоритм NASATEAM.  Таблица 6 — Экстремальные и средние значения ледовитости для Южного океана и 3 меридиональных секторов за 8 — 14 октября 1979-2012 гг. по данным наблюдений SSMR-SSM/I-SSMIS, алгоритм NASATEAM.  Приложение 1 — Статистические значения ледовитости для отдельным акваториям Северной Полярной Област и Южного океана	). 12 12 12 12 13 13 13 14 14 15 15 16 16 16 19

### Северное Полушарие

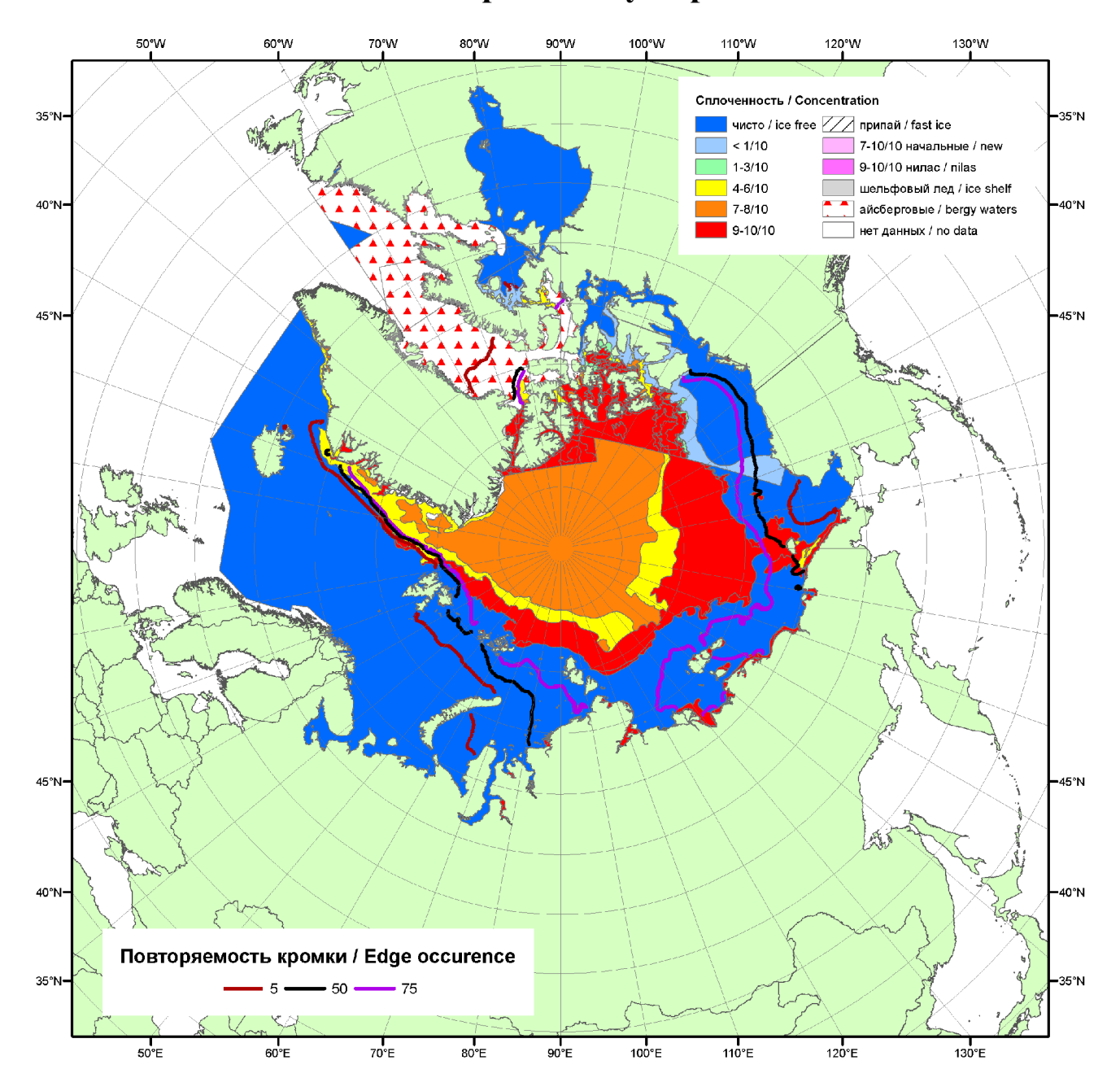


Рисунок 1a — Обзорная ледовая карта СЛО за 08.10-16.10.2012 г. на основе ледового анализа ААНИИ (16.10.2012), Канадской ледовой службы (08.10.2012), Национального ледового центра США(море Бофорта, 08.10.2012) и повторяемость кромки за 11.10-15.10 за период 1979-2012 гг. по наблюдениям SSMR-SSM/I-SSMIS (алгоритм NASATEAM).

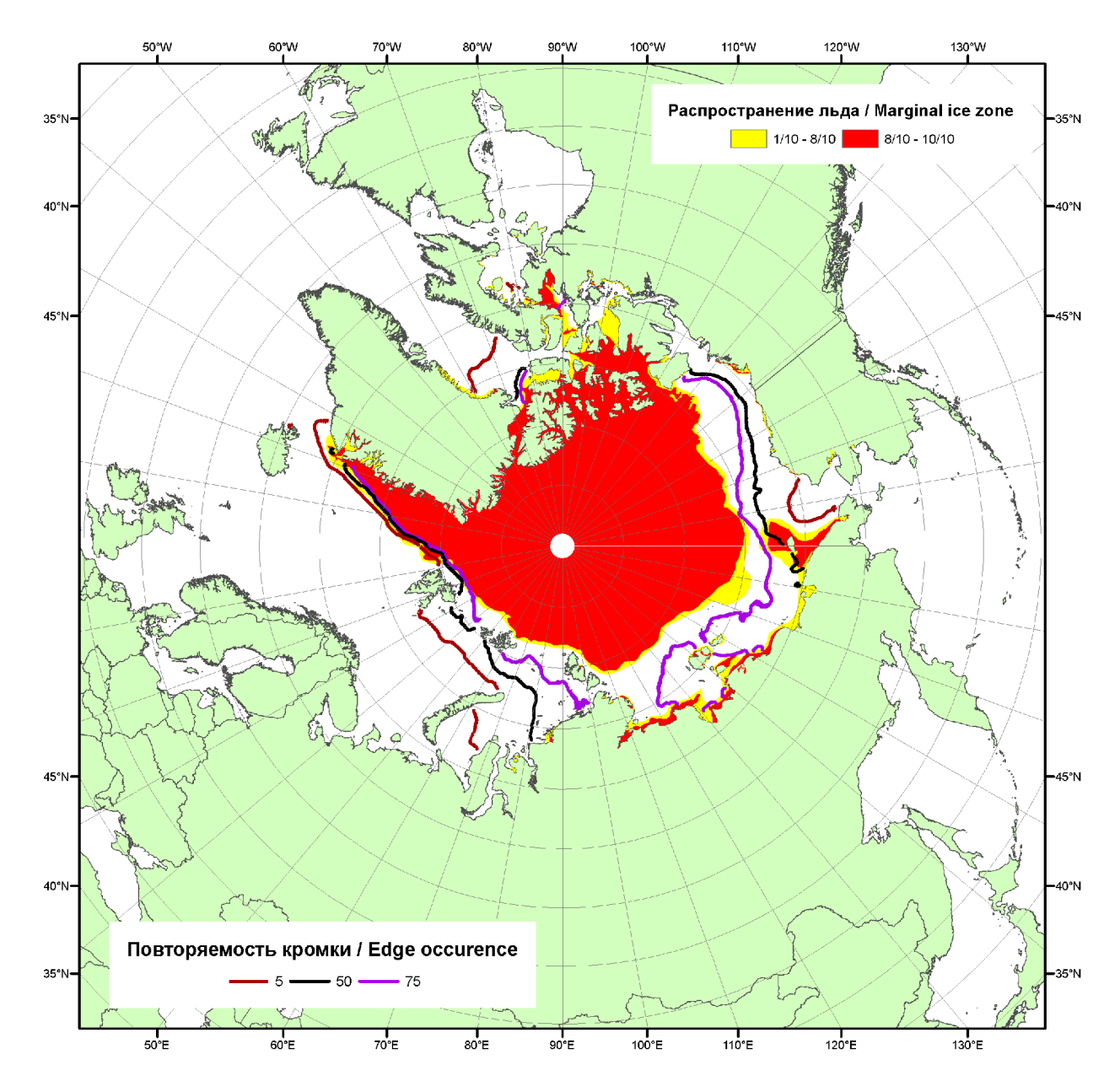


Рисунок 16 – Положение кромки льда (районов безледокольного плаванья) и сплоченных льдов СЛО за 15.10.2012 г. на основе ледового анализа Национального Ледового Центра США и повторяемость кромки за 11.10-15.10 за период 1979-2012 гг. по наблюдениям SSMR-SSM/I-SSMIS (алгоритм NASATEAM)

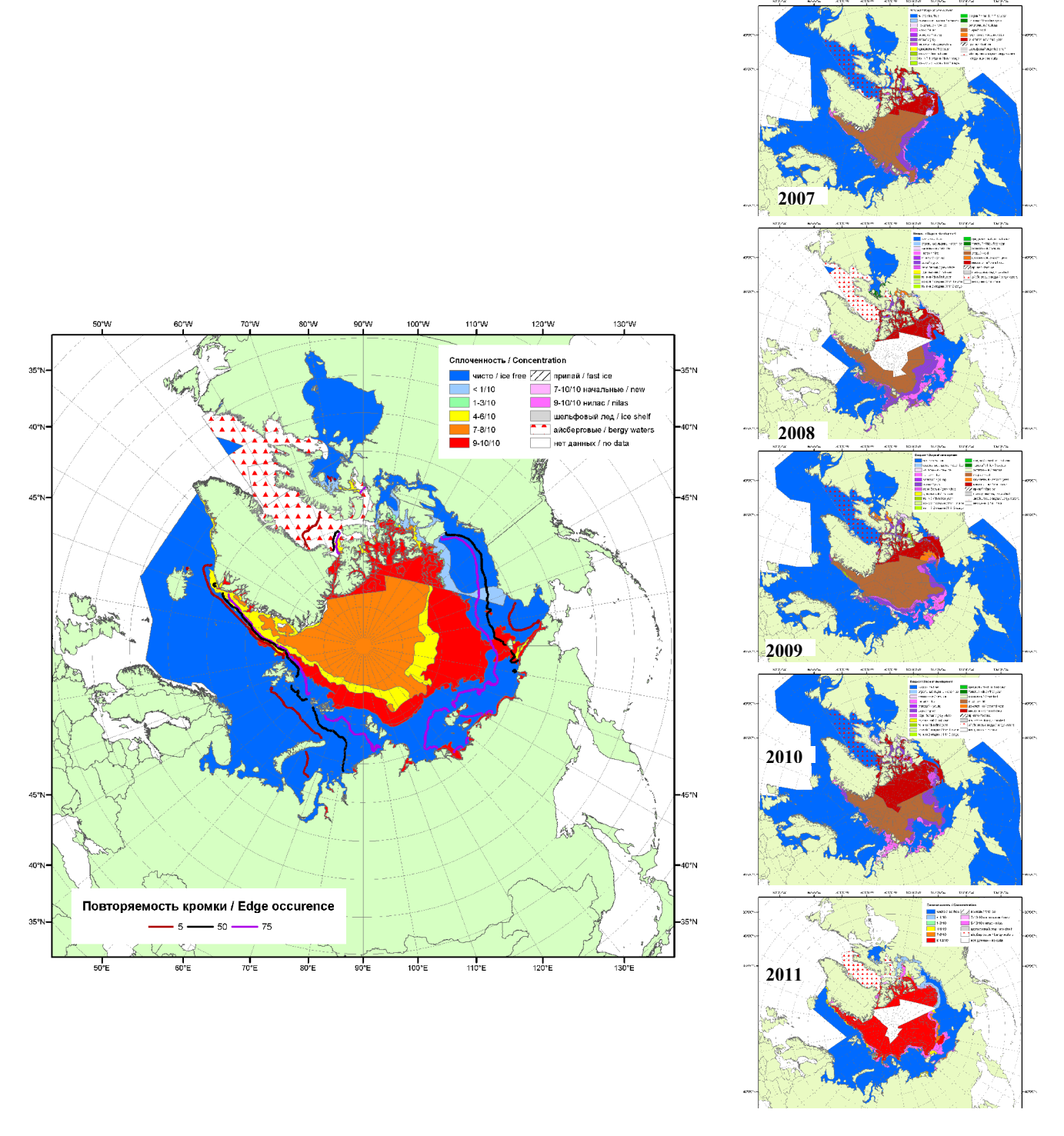


Рисунок 1в — Обзорная ледовая карта СЛО за 08.10-16.10.2012 г. и аналогичные периоды 2007-2011 гг. на основе ледового анализа ААНИИ, Канадской ледовой и Национального ледового центра США.

Таблица 1 — Динамика изменения значений ледовитости по сравнению с предыдущей неделей для морей Северной полярной области за 8 — 14 октября 2012 г. по данным наблюдений SSMR-SSM/I-SSMIS

Регион	Северная полярная	' '   '   '   '   '     '			
	область				
Разность	636.3	127.6	203.2	305.5	
тыс.кв.км/	90.9	18.2	29.0	43.6	
сут.					

Таблица 2 - Медианные значения ледовитости для Северной полярной области и 3-х меридиональных секторов за 1- 14 октября и 8- 14 октября 2012 г. и её аномалии от 2008-2011 гг. и интервалов 2002-2012 гг. и 1978-2012 гг. по данным наблюдений SSMR-SSM/I-SSMIS, алгоритм NASATEAM

			Северн	ая полярн	ая область		•			
Moogu	S, тыс.			Α	номалии, т	гыс км²/%				
Месяц	KM <sup>2</sup>	2007 г	2008 г	2009 г	2010 г	2011 г	2002-2012гг	1978-2012гг		
01-14.10	4460.3	-602.0	-1430.2	-1551.4	-1648.4	-1020.8	-1683.4	-3037.7		
01-14.10	4460.3	-11.9	-24.3	-25.8	-27.0	-18.6	-27.4	-40.5		
08-14.10	4770 E	-513.9	-1585.1	-1491.2	-1701.1	-950.9	-1680.2	-3031.7		
00-14.10	4778.5	-9.7	-24.9	-23.8	-26.3	-16.6	-26.0	-38.8		
Сектор 45°W-95°E (Гренландское - Карское моря)										
Moogu	Ѕ, тыс.			Α	номалии, т	гыс км²/%				
Месяц	KM <sup>2</sup>	2007 г	2008 г	2009 г	2010 г	2011 г	2002-2012гг	1978-2012гг		
01-14.10	1298.4	-291.7	-202.1	-37.7	-168.4	-105.8	-256.0	-500.8		
01-14.10	1290.4	-18.3	-13.5	-2.8	-11.5	-7.5	-16.5	-27.8		
08-14.10	1362.2	-280.9	-219.2	-20.0	-169.0	-100.2	-259.3	-516.9		
06-14.10	1362.2	-17.1	-13.9	-1.4	-11.0	-6.9	-16.0	-27.5		
	Сектор	95°E-170°V	V (моря Ла	аптевых - С	łукотское,	Берингово	о, Охотское)			
Месяц	Ѕ, тыс.			Α	номалии, т	ГЫС КМ <sup>2</sup> /%				
месяц	KM <sup>2</sup>	2007 г	2008 г	2009 г	2010 г	2011 г	2002-2012гг	1978-2012гг		
01-14.10	1196.1	217.6	-693.8	-642.7	-721.5	-470.5	-705.1	-1413.4		
01-14.10	1190.1	22.2	-36.7	-34.9	-37.6	-28.2	-37.1	-54.2		
08-14.10	1297.7	259.5	-887.8	-709.4	-746.1	-442.9	-747.7	-1455.1		
06-14.10	1297.7	25.0	-40.6	-35.3	-36.5	-25.4	-36.6	-52.9		
	С	ектор 170°	°W-45°W (N	иоре Бофс	рта и Кана	адская Арк	тика)			
Moogu	Ѕ, тыс.			Α	номалии, т	гыс км²/%				
Месяц	KM <sup>2</sup>	2007 г	2008 г	2009 г	2010 г	2011 г	2002-2012гг	1978-2012гг		
01-14.10	1965.8	-527.9	-534.3	-870.9	-758.5	-444.5	-722.4	-1123.6		
01-14.10	1905.6	-21.2	-21.4	-30.7	-27.8	-18.4	-26.9	-36.4		
09 14 10	2110 6	-492.5	-478.3	-761.8	-785.9	-407.7	-673.2	-1059.6		
08-14.10	2118.6	-18.9	-18.4	-26.4	-27.1	-16.1	-24.1	-33.3		

Таблица 3 — Экстремальные и средние значения ледовитости для Северной полярной области и 3 меридиональных секторов за 8-14 октября 1979-2012 гг. по данным наблюдений SSMR-SSM/I-SSMIS, алгоритм NASATEAM

	Северная полярная область										
Месяц	Минимальное знач.	Максимальное знач.	Среднее знач.	Медиана							
08-14.10	4446.6	9587.3	7810.1	8127.4							
00-14.10	08.10.2012	14.10.1982	7010.1								
	Сектор 45°W-95°E (Гренландское - Карское моря)										
Месяц	Минимальное знач.	Максимальное знач.	Среднее знач.	Медиана							
08-14.10	1290.2	2607.0	1879.1	1050 6							
00-14.10	10.10.2009	1079.1	1858.6								
	Сектор 95°E-170°W (мо	ря Лаптевых - Чукотско	е, Берингово, Охотско	oe)							
Месяц	Минимальное знач.	знач. Максимальное знач. Среднее з		Медиана							
00 14 10	930.1	3442.9	2752.8	2050.7							
08-14.10	08.10.2007	08.10.1983	2/32.0	3050.7							
	Сектор 170°W-45	5°W (море Бофорта и Ка	надская Арктика)								
Месяц	Минимальное знач.	Максимальное знач.	Среднее знач.	Медиана							
00 14 10	1956.3	4030.7	2170.2	2217.0							
08-14.10	08.10.2012	14.10.1986	3178.2	3217.9							
		·	·	·							

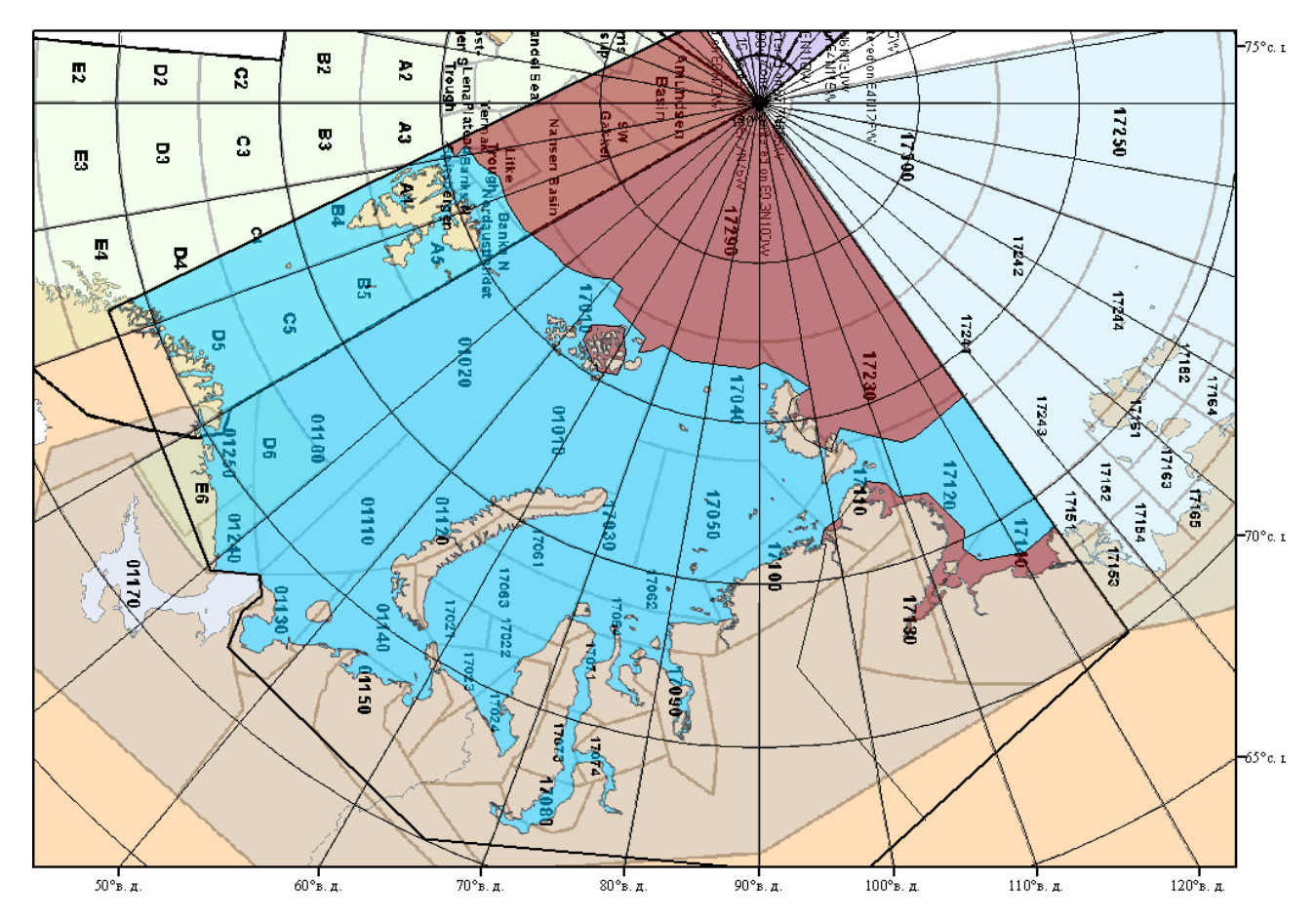
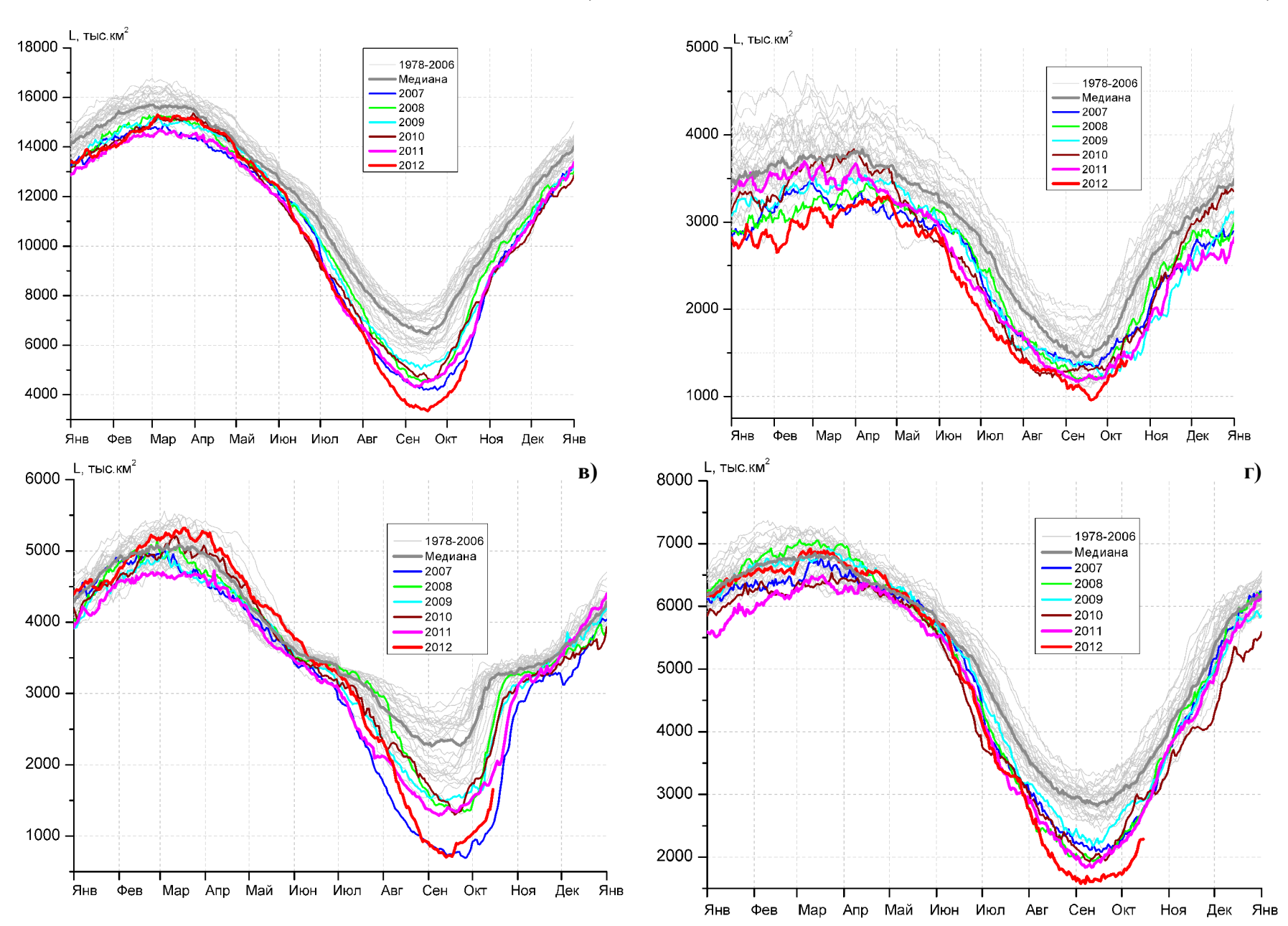


Рисунок 2 — Положение кромки льда (районов безледокольного плаванья) в MET3OHax XX-XXI на  $16.10.2012\ 1200$ UTC



a)

Рисунок 3 — Ежедневные оценки сезонного хода ледовитости для Северной Полярной Области и трех меридиональных секторов за период 26.10.1978 - 14.10.2012 по годам на основе расчетов по данным SSMR-SSM/I-SSMIS, алгоритм NASATEAM: а) Северная полярная область, б) сектор 45°W-95°E (Гренландское — Карское моря), в) сектор 95°E-170°W (моря Лаптевых — Чукотское и Берингово, Охотское), г) сектор 170°W-45°W (море Бофорта и Канадская Арктика).

б)

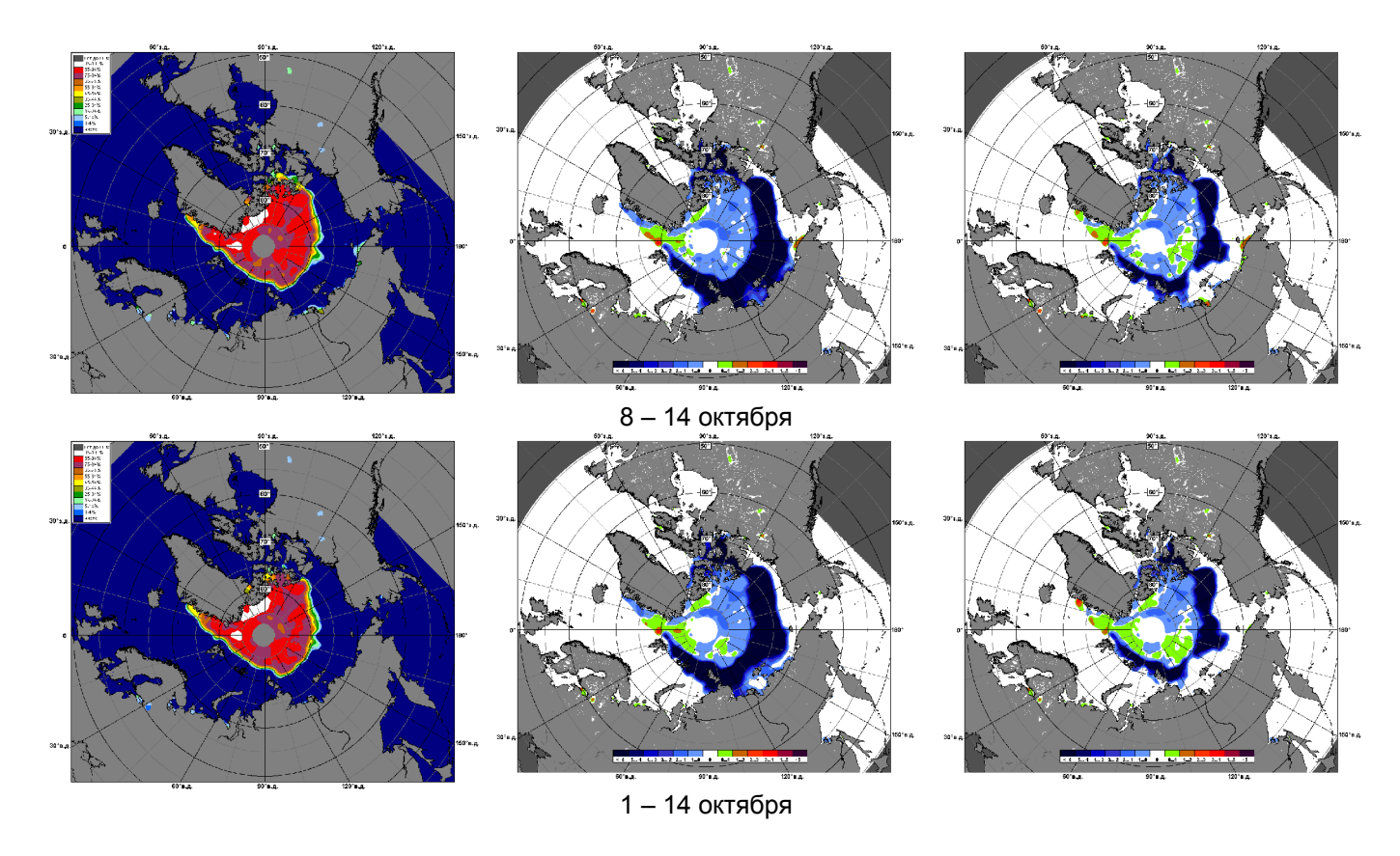


Рисунок 4 — Медианные распределения сплоченности льда за периоды 8 — 14 октября и 1 - 14 октября 2012 г. (слева) и её разности относительно медианного распределения за те же месяца за периоды 1979-2012 (центр) и 2002-2012 гг. (справа) на основе расчетов по данным SSMR-SSM/I-SSMIS, алгоритм NASATEAM.

#### Южный океан

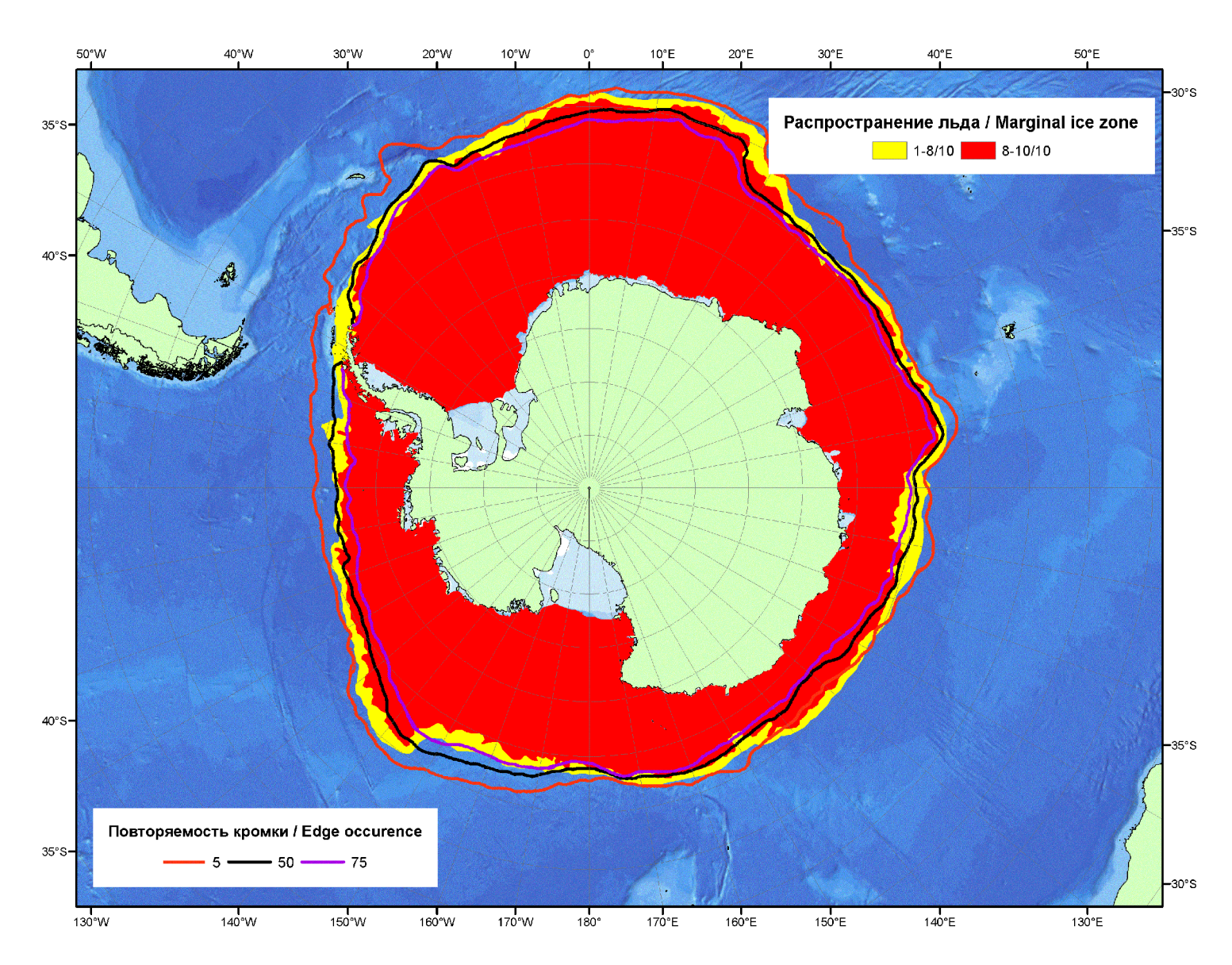


Рисунок 5 — Положение кромки льда (районов безледокольного плаванья) и сплоченных льдов Южного Океана за 15.10.2012 г. на основе ледового анализа Национального Ледового Центра США и повторяемость кромки за 11.10-15.10 за период 1979-2012 гг. по наблюдениям SSMR-SSM/I-SSMIS (алгоритм NASATEAM).

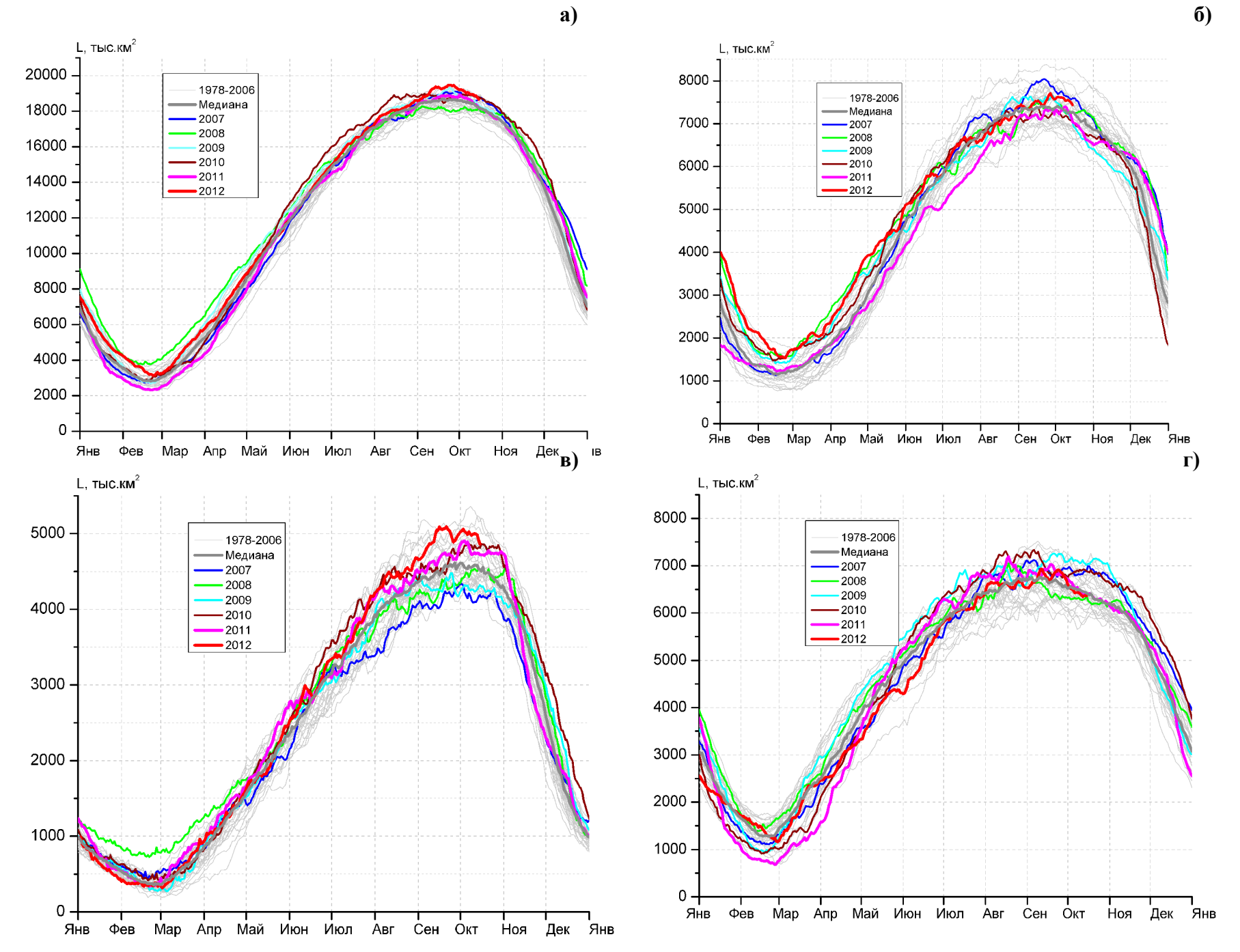


Рисунок 6 – Ежедневные оценки сезонного хода ледовитости Южного Океана и меридиональных секторов за период 26.10.1978 - 14.10.2012 по годам на основе расчетов по данным SSMR-SSM/I-SSMIS, алгоритм NASATEAM: а) Южный Океан, б) Атлантический сектор (60°W-30°E, море Уэдделла), в) Индоокеанский сектор (30°E-150°E, моря Космонавтов, Содружества, Моусона), г) Тихоокеанский сектор (150°E-60°W, моря Росса, Беллинсгаузена)

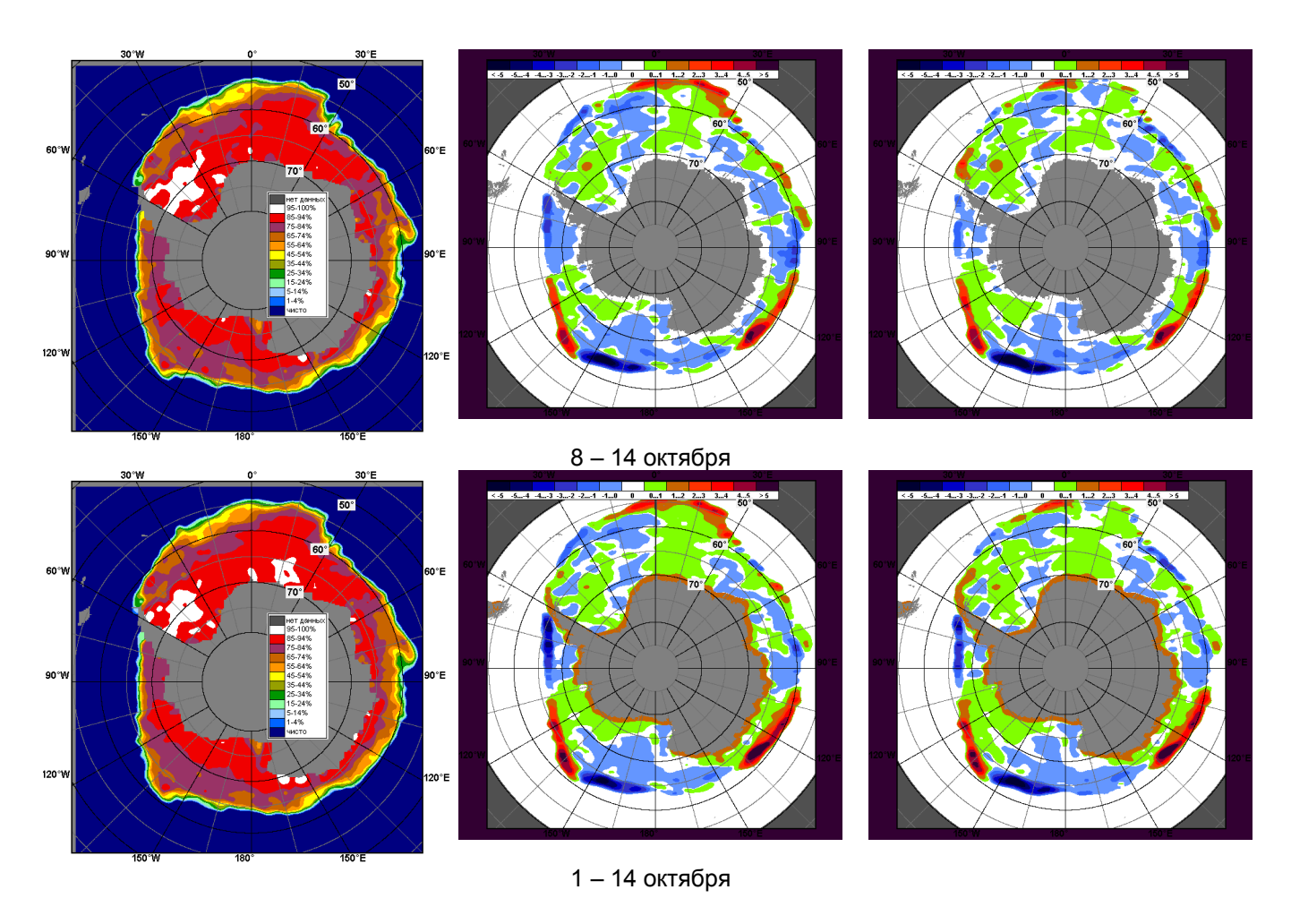


Рисунок 7 — Медианные распределения общей сплоченности льда за периоды 8-14 октября и 1-14 октября 2012 г. (слева) и её разности относительно медианного распределения за тот же месяц за периоды 1979-2012 (центр) и 2002-2012 гг. (справа) на основе расчетов по данным SSMR-SSM/I-SSMIS, алгоритм NASATEAM

Таблица 4 — Динамика изменения значений ледовитости по сравнению с предыдущей неделей для морей Южного океана за 8 — 14 октября 2012 г. по данным наблюдений SSMR-SSM/I-SSMIS

Регион	Южный Океан	Атлантический	Индоокеанский	Тихоокеанский		
		сектор		сектор		
Разность	-228.0	-70.7	-44.6	-112.7		
тыс.кв.км/	-32.6	-10.1	-6.4	-16.1		
сут.						

Таблица 5 - Медианные значения ледовитости для Южного океана и 3 меридиональных секторов за 1-14 октября и 8-14 октября 2012 г. и её аномалии от 2008-2011 гг. и интервалов 2002-2012 гг. и 1978-2012 гг. по данным наблюдений SSMR-SSM/I-SSMIS, алгоритм NASATEAM

	Южный Океан											
Moogu	S, тыс.		Аномалии, тыс км²/%									
Месяц	KM <sup>2</sup>	2007 г	2008 г	2009 г	2010 г	2011 г	2002-2012гг	1978-2012гг				
01-14.10	19022.8	296.4	920.2	324.7	145.3	382.9	363.7	583.7				
01-14.10	19022.6	1.6	5.1	1.7	8.0	2.1	1.9	3.2				
00 14 10	18908.8	327.9	841.3	353.8	44.4	421.0	348.4	552.9				
08-14.10	0.0000.0	4.0	4.7	4.0	0	2.2	1.0	2.0				

	Атлантический сектор (60°W-30°E, море Уэдделла)										
Месяц	S, тыс.		Аномалии, тыс км²/%								
месяц	KM <sup>2</sup>	2007 г	2008 г	2009 г	2010 г	2011 г	2002-2012гг	1978-2012гг			
01-14.10	7573.6	-102.4	244.7	247.7	384.3	273.7	139.7	241.8			
01-14.10	7573.0	-1.3	3.3	3.4	5.3	3.7	1.9	3.3			
08-14.10	7538.3	-83.1	279.8	319.7	403.1	233.3	157.7	257.3			
00-14.10	1538.3	-1.1	3.9	4.4	5.7	3.2	2.1	3.5			

VII	индоокеанский сектор (30 Е-тэб Е, моря космонавтов, Содружества, Моусона)										
Месяц	Масси. S, тыс.	Аномалии, тыс км²/%									
месяц	KM <sup>2</sup>	2007 г	2008 г	2009 г	2010 г	2011 г	2002-2012гг	1978-2012гг			
01-14.10	5002.4	815.3	531.4	729.8	182.6	194.8	314.7	394.1			
01-14.10	3002.4	19.5	11.9	17.1	3.8	4.1	6.7	8.6			
08-14.10	4980.1	855.6	466.8	721.4	156.5	240.6	309.5	378.8			
00-14.10	4900.1	20.7	10.3	16.9	3.2	5.1	6.6	8.2			
	Тихоокеанский сектор (150°F-60°W, моря Росса, Беллинсгаузена)										

		тихоокеанский сектор (150 Е-00 М, моря Росса, Беллинстаузена)										
I	Месяц	S, тыс.	Аномалии, тыс км²/%									
	месяц	KM <sup>2</sup>	2007 г	2008 г	2009 г	2010 г	2011 г	2002-2012гг	1978-2012гг			
ĺ	01-14.10	6446.7	-416.6	144.0	-652.8	-421.5	-85.5	-90.7	-52.2			
	01-14.10	0440.7	-6.1	2.3	-9.2	-6.1	-1.3	-1.4	-0.8			
ĺ	00 14 10	6390.4	-444.6	94.6	-687.2	-515.3	-52.9	-118.7	-83.2			
ı	08-14.10	0390.4	-6.5	1.5	-9.7	-7.5	-0.8	-1.8	-1.3			

Таблица 6 — Экстремальные и средние значения ледовитости для Южного океана и 3 меридиональных секторов за 8-14 октября 1979-2012 гг. по данным наблюдений SSMR-SSM/I-SSMIS, алгоритм NASATEAM

		Южный Океан									
Месяц	Минимальное знач.	Максимальное знач.	Среднее знач.	Медиана							
08-14.10	17305.3	19152.8	18355.9	18350.6							
06-14.10	14.10.1986	08.10.2006	10300.9	10330.0							
	Атлантический сектор (60°W-30°E, море Уэдделла)										
Месяц	Минимальное знач.	Максимальное знач.	Среднее знач.	Медиана							
08-14.10	6554.9	8324.9	7281.0	7267.5							
00-14.10	13.10.1990	12.10.1980	7201.0	7207.5							
Инд	оокеанский сектор (30°E	E-150°E, моря Космонав	тов, Содружества, Мо	русона)							
Месяц	Минимальное знач.	Максимальное знач. Среднее знач.		Медиана							
08-14.10	4091.1	5360.9	4601.3	4500.0							
00-14.10	10.10.2007	08.10.1993	4001.3	4528.3							
	Тихоокеанский секто	р (150°E-60°W, моря Ро	сса, Беллинсгаузена)								
Месяц	Минимальное знач.	Максимальное знач.	Среднее знач.	Медиана							
08-14.10	5651.0	7130.9	6473.6	6429.7							
00-14.10	08.10.1987	08.10.1996	0473.0	0429.7							
·			·								

# Приложение 1 – Статистические значения ледовитостей по отдельным акваториям Северной Полярной Области и Южного океана

Таблица 7 — Медианные значения ледовитости для отдельных морей Северной полярной области и Южного океана за 1-14 октября и 8-14 октября 2012 г. и её аномалии от 2008-2011 гг. и интервалов 2002-2012 гг. и 1978-2012 гг. по данным наблюдений SSMR-SSM/I-SSMIS, алгоритм NASATEAM Гренландское море

	1.0	1	ı pı	<del>енландско</del>		2/0/		
Месяц	S, тыс.	000=	0000		номалии,		0000 00:-	4070 00:5
	KM <sup>2</sup>	2007 г	2008 г	2009 г	2010 г	2011 г	2002-2012гг	1978-2012г
01-14.10	414.5	-70.2	73.8	14.6	82.2	35.9	47.7	-2.
	1	-14.5	21.7	3.7	24.8	9.5	13.0	-0.0
08-14.10	437.4	-60.7	53.3	9.4	84.2	45.3	49.1	5.
	107.1	-12.2	13.9	2.2	23.8	11.6	12.6	1.3
			Б	аренцево				
Месяц	S, тыс.				номалии,			
Тиобліц	KM <sup>2</sup>	2007 г	2008 г	2009 г	2010 г	2011 г	2002-2012гг	1978-2012г
01-14.10	8.1	-15.4	-54.8	-17.9	-3.0	-9.1	-51.1	-99.
	0.1	-65.4	-87.1	-68.8	-27.2	-52.8	-86.3	-92.
08-14.10	10.5	-20.1	-66.0	-23.5	-0.6	-13.9	-57.9	-112.
00-14.10	10.5	-65.6	-86.2	-69.0	-5.4	-56.9	-84.6	-91.
				Карское м				
Месяц	S, тыс.				номалии,			
Месяц	KM <sup>2</sup>	2007 г	2008 г	2009 г	2010 г	2011 г	2002-2012гг	1978-2012г
01-14.10	13.2	-50.7	-82.0	1.3	-109.6	-8.1	-134.7	-281.
01-14.10	13.2	-79.3	-86.1	10.8	-89.2	-37.9	-91.1	-95.
08-14.10	16.1	-78.6	-110.5	4.3	-179.0	-12.9	-163.0	-322.
00-14.10	10.1	-83.0	-87.3	36.0	-91.7	-44.4	-91.0	-95.
			N	Лоре Лапте	ЭВЫХ			
Moogu	S, тыс.			Α	номалии,	гыс км²/%		
Месяц	KM <sup>2</sup>	2007 г	2008 г	2009 г	2010 г	2011 г	2002-2012гг	1978-2012г
01 11 10	53.3	-261.0	-319.6	-24.1	-195.5	21.1	-240.1	-395.
01-14.10		-83.1	-85.7	-31.2	-78.6	65.7	-81.8	-88.
00 44 40	00.4	-286.8	-374.8	-43.4	-210.9	42.9	-265.4	-429.
08-14.10	80.1	-78.2	-82.4	-35.1	-72.5	115.4	-76.8	-84.3
	•		Восто	но-Сибир	ское море			
N4	S, тыс.			A	номалии,	гыс км <sup>2</sup> /%		
Месяц	KM <sup>2</sup>	2007 г	2008 г	2009 г	2010 г	2011 г	2002-2012гг	1978-2012г
04 44 40	40.0	6.9	-120.0	-371.6	-304.5	-313.7	-257.2	-585.
01-14.10	16.2	73.8	-88.1	-95.8	-95.0	-95.1	-94.1	-97.
00.44.40	07.0	13.4	-220.2	-477.3	-334.3	-383.2	-309.9	-640.
08-14.10	27.9	92.0	-88.8	-94.5	-92.3	-93.2	-91.7	-95.8
	·!			łукотское i			-	
	Ѕ, тыс.				номалии, <sup>-</sup>	ГЫС КМ <sup>2</sup> /%		
Месяц	KM <sup>2</sup>	2007 г	2008 г	2009 г	2010 г	2011 г	2002-2012гг	1978-2012г
		7.9	1.5	-3.1	3.2	8.9	-9.0	-152.
01-14.10	13.6	140.8	12.5	-18.8	31.0	192.8	-40.0	-91.
	1	9.6	-1.5	0.4	3.5	11.7	-12.4	-163.
08-14.10	17.7	117.6	-7.6	2.4	24.9	194.1	-41.2	-90.
		117.0		Море Бофо		107.1	71.2	
	S, тыс.		<u>'</u>		номалии, <sup>т</sup>	ГЫС КМ <sup>2</sup> /%		
Месяц	KM <sup>2</sup>	2007 г	2008 г	2009 г	2010 г	2011 г	2002-2012гг	1978-2012r
		-197.5	-140.9	-281.9	-184.6	-123.9	-191.9	-280.
01-14.10	22.3	-89.9	-86.3	-92.7	-89.2	-84.8	-89.6	-280. -92.
		-230.7	-160.2	-92.7	-213.2	-134.5	-207.3	-92. -292.
08-14.10	29.5	-88.7	-84.4	-89.9	-213.2	-82.0	-207.5	-292. -90.
	I	-00.7	-04.4	-09.9	-01.0	-oz.U	C. 10-	- <del>9</del> 0.0

Берингово море

	Веринове мере										
	Месяц	Ѕ, тыс.	Аномалии, тыс км²/%								
	месяц	KM <sup>2</sup>	2007 г	2008 г	2009 г	2010 г	2011 г	2002-2012гг	1978-2012гг		
Ī	01 14 10	7.2	-6.7	2.6	-1.0	2.4	0.7	-5.0	-15.0		
	01-14.10	7.3	-48.0	56.1	-11.8	48.8	10.8	-41.0	-67.5		
	08-14.10	<i>F</i> 7	-8.6	0.1	-3.3	1.2	-2.6	-7.6	-16.2		
		5.7	-60.2	2.3	-36.4	26.3	-31.4	-57.1	-74.0		

Гудзонов залив

Месяц	S, тыс.	Аномалии, тыс км²/%						
Месяц	KM <sup>2</sup>	2007 г	2008 г	2009 г	2010 г	2011 г	2002-2012гг	1978-2012гг
01-14.10	11.7	-7.5	1.2	0.6	-2.7	-2.4	-5.4	-14.5
01-14.10	11.7	-39.1	11.1	5.6	-18.8	-17.1	-31.8	-55.4
00 14 10	11.5	-1.9	-0.3	0.4	0.0	-5.1	-5.9	-15.4
08-14.10	11.5	-13.9	-2.4	3.3	0.1	-30.8	-34.0	-57.2

Море Лабрадор

	Месяц	Ѕ, тыс.	Аномалии, тыс км²/%							
	месяц	KM <sup>2</sup>	2007 г	2008 г	2009 г	2010 г	2011 г	2002-2012гг	1978-2012гг	
	01-14.10	0	-11.9	0.0	0.0	0.0	0.0	-5.0	-10.9	
1 '		0.0	-100.0	-	-	-	-	-100.0	-100.0	
	08-14.10	0.0	-12.0	0.0	0.0	0.0	0.0	-5.4	-11.1	
		0.0	-100.0	1	1	1	ı	-100.0	-100.0	

Залив Дейвиса

Месяц	S, тыс.	Аномалии, тыс км²/%						
месяц	KM <sup>2</sup>	2007 г	2008 г	2009 г	2010 г	2011 г	2002-2012гг	1978-2012гг
01-14.10	14.5	3.8	4.8	6.5	-1.5	3.4	2.6	-1.9
01-14.10		35.3	49.2	82.2	-9.1	31.1	21.4	-11.7
08-14.10	44.0	6.2	5.4	4.4	-2.8	4.9	2.9	-2.3
	14.2	77.9	60.9	45.5	-16.6	52.7	26.3	-14.0

Канадский архипелаг

ranagown apamera.								
Месяц	S, тыс.			Α	гыс км²/%	$M^2/\%$		
месяц	KM <sup>2</sup>	2007 г	2008 г	2009 г	2010 г	2011 г	2002-2012гг	1978-2012гг
01-14.10	308.8	-140.2	-210.5	-278.0	-235.9	-66.9	-224.4	-310.3
01-14.10		-31.2	-40.5	-47.4	-43.3	-17.8	-42.1	-50.1
08-14.10	382.9	-88.0	-143.4	-243.3	-256.2	-52.4	-191.9	-271.3
		-18.7	-27.2	-38.9	-40.1	-12.0	-33.4	-41.5

	Западная часть моря Уэдделла								
Месяц	S, тыс.				номалии, т				
ркоеги	KM <sup>2</sup>	2007 г	2008 г	2009 г	2010 г	2011 г	2002-2012гг	1978-2012гг	
01-14.10	2302.9	-64.0	251.1	85.8	92.1	-355.3	14.4	-60.5	
01-14.10	2302.9	-2.7	12.2	3.9	4.2	-13.4	0.6	-2.6	
08-14.10	2262.8	-59.8	213.3	127.3	85.8	-347.5	1.6	-68.4	
00-14.10	2202.0	-2.6	10.4	6.0	3.9	-13.3	0.1	-2.9	
•	Восточная часть моря Уэдделла								
Месяц	S, тыс.			Α	номалии, т	гыс км <sup>2</sup> /%			
Месяц	KM <sup>2</sup>	2007 г	2008 г	2009 г	2010 г	2011 г	2002-2012гг	1978-2012гг	
01-14.10	5270.8	-38.4	-6.4	161.9	292.1	629.0	125.4	302.3	
01-14.10	5270.8	-0.7	-0.1	3.2	5.9	13.6	2.4	6.1	
08-14.10	5275.5	-23.3	66.5	192.4	317.4	580.8	156.1	325.7	
00-14.10	5275.5	-0.4	1.3	3.8	6.4	12.4	3.0	6.6	
			Mc	ре Космон	навтов				
Moogu	S, тыс.				номалии, т	гыс км <sup>2</sup> /%			
Месяц	KM <sup>2</sup>	2007 г	2008 г	2009 г	2010 г	2011 г	2002-2012гг	1978-2012гг	
01-14.10	1220.6	191.7	54.3	-26.8	-374.4	-32.4	-90.1	-18.9	
01-14.10	1229.6	18.5	4.6	-2.1	-23.3	-2.6	-6.8	-1.5	
08-14.10	1249.3	222.4	54.1	-43.7	-359.0	0.8	-68.8	1.0	
00-14.10	1249.3	21.7	4.5	-3.4	-22.3	0.1	-5.2	0.1	
•	Море Содружества								
Moogu	S, тыс. км²				номалии, т	гыс км <sup>2</sup> /%			
Месяц		2007 г	2008 г	2009 г	2010 г	2011 г	2002-2012гг	1978-2012гг	
04 44 40	1617.2	92.4	228.4	166.1	-52.1	-77.6	47.8	52.4	
01-14.10	1617.3	6.1	16.4	11.4	-3.1	-4.6	3.0	3.3	
08-14.10	1623.1	133.7	204.4	151.0	-18.2	-68.8	47.7	56.2	
00-14.10		9.0	14.4	10.3	-1.1	-4.1	3.0	3.6	
				Море Моус	она				
Месяц	S, тыс.			Α	номалии, т	гыс км²/%			
Месяц	KM <sup>2</sup>	2007 г	2008 г	2009 г	2010 г	2011 г	2002-2012гг	1978-2012гг	
01-14.10	2155.5	531.2	248.7	590.5	609.0	304.7	357.1	360.6	
01-14.10	2100.0	32.7	13.0	37.7	39.4	16.5	19.9	20.1	
08-14.10	2107.7	499.5	208.3	614.0	533.6	308.6	330.5	321.5	
00-14.10	2101.1	31.1	11.0	41.1	33.9	17.2	18.6	18.0	
				Mope Poo	ca				
Месяц	S, тыс.				номалии, т	гыс км <sup>2</sup> /%			
месяц	KM <sup>2</sup>	2007 г	2008 г	2009 г	2010 г	2011 г	2002-2012гг	1978-2012гг	
01-14.10	5676.5	-610.9	-8.0	-328.7	-371.5	369.2	86.1	190.2	
01-14.10	5070.5	-9.7	-0.1	-5.5	-6.1	7.0	1.5	3.5	
08-14.10	5560.2	-625.0	-83.8	-484.9	-529.1	263.1	0.4	87.3	
00-14.10	5569.2	-10.1	-1.5	-8.0	-8.7	5.0	0.0	1.6	
			Мор	е Беллинс	гаузена				
Moogu	S, тыс.				номалии, т	гыс км <sup>2</sup> /%			
Месяц	KM <sup>2</sup>	2007 г	2008 г	2009 г	2010 г	2011 г	2002-2012гг	1978-2012гг	
01 14 10	770.2	194.3	152.1	-324.1	-50.0	-454.7	-176.9	-242.4	
01-14.10	770.3	33.7	24.6	-29.6	-6.1	-37.1	-18.7	-23.9	
08-14.10	024.2	180.4	178.5	-202.3	13.9	-316.0	-119.1	-170.5	
00-14.10	821.2	28.2	27.8	-19.8	1.7	-27.8	-12.7	-17.2	
								-	

Таблица 8 – Экстремальные и средние значения ледовитости для морей Северной полярной области и Южного океана за 8 – 14 октября 1979-2012 гг. по данным наблюдений SSMR-SSM/I-SSMIS

Гренландское море Месяц Минимальное знач. Среднее знач. Максимальное знач. Медиана 210.9 598.3 08-14.10 432.3 434.4 11.10.2002 14.10.1981 Баренцево море Минимальное знач. Месяц Максимальное знач. Среднее знач. Медиана 0.0 424.1 08-14.10 122.5 87.9 14.10.2012 14.10.1982 Карское море Максимальное знач. Месяц Минимальное знач. Среднее знач. Медиана 8.2 763.0 08-14.10 338.4 345.0 10.10.2012 14.10.1998 Море Лаптевых Месяц Минимальное знач. Максимальное знач. Среднее знач. Медиана 670.2 17.8 08-14.10 598.6 509.2 08.10.2009 08.10.1979 Восточно-Сибирское море Минимальное знач. Максимальное знач. Месяц Среднее знач. Медиана 5.0 921.0 08-14.10 805.6 667.9 08.10.2012 08.10.1983 Чукотское море Минимальное знач. Максимальное знач. Месяц Среднее знач. Медиана 439.4 1.8 08-14.10 150.0 180.8 10.10.2011 14.10.1994 Море Бофорта Месяц Минимальное знач. Максимальное знач. Среднее знач. Медиана 19.9 487.2 08-14.10 321.5 315.0 08.10.1996 08.10.2012 Берингово море Минимальное знач. Максимальное знач. Месяц Среднее знач. Медиана 92.3 2.4 08-14.10 21.8 20.2 12.10.2008 12.10.1993 Гудзонов залив Месяц Минимальное знач. Максимальное знач. Среднее знач. Медиана 7.8 101.2 08-14.10 26.9 21.6 08.10.2012 13.10.1997 Море Лабрадор Месяц Минимальное знач. Максимальное знач. Среднее знач. Медиана 0.0 43.7 08-14.10 9.5 11.1 08.10.2008 10.10.1993 Залив Дейвиса Месяц Минимальное знач. Максимальное знач. Среднее знач. Медиана 3.0 55.4 08-14.10 16.5 11.5 11.10.1991 12.10.1983 Канадский архипелаг Месяц Минимальное знач. Максимальное знач. Среднее знач. Медиана 840.0 295.6 08-14.10 654.1 688.0 08.10.2012 14.10.1986

Западная часть моря Уэдделла

Западная часть моря з эдделла										
Месяц	Минимальное знач.	Максимальное знач.	Среднее знач.	Медиана						
08-14.10	1974.0 09.10.1989	2961.2 10.10.1980	2331.2	2309.2						
	Восточная часть моря Уэдделла									
Месяц	Минимальное знач.	Максимальное знач.	Среднее знач.	Медиана						
08-14.10	4109.9	5666.1	4949.8	4961.6						
	10.10.1986	14.10.1992								
		Море Космонавтов								
Месяц	Минимальное знач.	Максимальное знач.	Среднее знач.	Медиана						
08-14.10	874.9	1660.2	1248.3	1231.3						
	08.10.1996	14.10.2010								
	Море Содружества									
Месяц	Минимальное знач.	Максимальное знач.	Среднее знач.	Медиана						
08-14.10	1269.1	1840.4	1566.8	1558.9						
00-14.10	08.10.1992	10.10.2006	1300.0							
		Море Моусона								
Месяц	Минимальное знач.	Максимальное знач.	Среднее знач.	Медиана						
08-14.10	1057.1	2300.5	1786.2	1760.6						
00-14.10	12.10.1989	08.10.1993	08.10.1993							
		Mope Pocca								
Месяц	Минимальное знач.	Максимальное знач.	Среднее знач.	Медиана						
08-14.10	4480.9	6236.5	5481.8	5455.7						
	08.10.1987	08.10.2007	0401.0	<u> </u>						
		Море Беллинсгаузена								
Месяц	Минимальное знач.	Максимальное знач.	Среднее знач.	Медиана						
08-14.10	566.2	1486.1	991.8	1001.7						
00-14.10	08.10.2007	08.10.1986	991.0							

Таблица 9 — Динамика изменения значений ледовитости по сравнению с предыдущей неделей для морей Северной полярной области и Южного океана за 8-14 октября  $2012~\mathrm{r}$ . по данным наблюдений SSMR-SSM/I-SSMIS

Регион	Гренландское море	Баренцево море	Карское море	Море Лаптевых
Разность	45.9	4.8	5.9	53.7
тыс.кв.км/	6.6	0.7	0.8	7.7
сут.				
	·			,
Регион	Восточно-Сибирское	Чукотское море	Море Бофорта	Берингово море
	море			
Разность	23.4	8.2	14.5	-3.1
тыс.кв.км/	3.3	1.2	2.1	-0.4
сут.				
Регион	Гудзонов залив	Море Лабрадор	Залив Дейвиса	Канадский
				архипелаг
Разность	-0.3	0.0	-0.7	148.2
тыс.кв.км/	0.0	0.0	-0.1	21.2
сут.				
	,,			,
Регион	Западная часть	Восточная часть	Море Космонавтов	Море Содружества
	моря Уэдделла	моря Уэдделла		
Разность	-80.1	9.5	39.4	11.5
тыс.кв.км/	-11.4	1.4	5.6	1.6
сут.				
Регион	Море Моусона	Mope Pocca	Mope	
			Беллинсгаузена	
Разность	-95.6	-214.7	101.9	
тыс.кв.км/	-13.7	-30.7	14.6	
сут.				

#### Характеристика исходного материала и методика расчетов

Для иллюстрации ледовых условий Арктического региона представлены совмещенные региональные карты ААНИИ, Канадской ледовой службы - КЛС и Национального ледового центра США - НЛЦ. Совмещение карт выполнено путем перекрытия слоев (ААНИИ, верхний слой) – (КЛС, средний слой) – (НЛЦ, нижний слой). Как результат, карты ААНИИ характеризуют ледовые условия морей Гренландского... Чукотского, Берингова, Охотского и Балтийского, КЛС - морей Бофорта, Канадского архипелага, Баффина, Девисова пролива, Лабрадор, Св. Лаврентия, а НЛЦ - Арктического Бассейна, Линкольна, южной части Гренландского моря, а также в летний период – моря Бофорта, Чукотское и Берингово (при этом полный охват карт НЛЦ – вся акватория СЛО и субполярные моря). Для построения совмещенных карт использовался архив данных в формате СИГРИДЗ Мирового центра данных по морскому льду (МЦД МЛ). В пределах отдельного месяца выборка карт из архива проводилась по критериям близости к середине месяца и интервала времени между картами ААНИИ и КЛС-НЛЦ в 1 сутки (день недели выпуска карт ААНИИ – каждая среда, КЛС – каждый вторник, НЛЦ – 1 раз в 2 недели по вторникам для циркумполярных карт и понедельник – четверг для региональных карт).

Для иллюстрации ледовых условий Южного океана используются ежедневные циркумполярные ледовые информационные продукты НЛЦ США по оценке расположения кромки льда и ледяных массивов.

Для иллюстрации ледовых условий Арктики и Южного океана за последние сутки используются данные о распределении общей сплоченности морского льда NCEP США.

Для цветовой окраски карт использован стандарт ВМО (WMO/Td. 1215) для зимнего (по возрасту) и летнего (по общей сплоченности) периодов. Следует также отметить, что в зонах стыковки карт ААНИИ и КЛС, НЛЦ наблюдается определенная несогласованность границ и характеристик ледовых зон вследствие ряда различий в ледовых информационных системах ААНИИ и КЛС, НЛЦ (КЛС и НЛЦ имеют единую информационную систему в рамках Североамериканкой ледовой службы). Однако, данная несогласованность несущественна для целей интерпретации ледовых условий в рамках настоящего обзора.

Для получения оценок ледовитости и климатического положения кромок заданной повторяемости на основе данных спутниковых систем пассивного микроволнового зондирования SSMR-SSM/I-SSMIS в МЦД МЛ ААНИИ принята следующая технология расчетов:

- источник данных архивные (Cavalieri et al., 2008, Meier et al., 2006) и квазиоперативные (Maslanik and Stroeve, 1999) с задержкой 1-2 дня ежедневные матрицы (поля распределения) оценок общей сплоченности Северной (севернее 45° с.ш.) и Южной (южнее 50° с.ш.) по алгоритму NASATEAM за период с 26.10.1978 г. по настоящий момент времени, копируемые с сервера НЦДСЛ;
- область расчета Северная и Южная Полярные области и их регионы с использованием масок океан/суша НЦДСЛ (<a href="http://nsidc.org/data/polar\_stereo/tools\_masks.html">http://nsidc.org/data/polar\_stereo/tools\_masks.html</a>) и региональных масок ААНИИ;
- вычислительные особенности расчета авторское программное обеспечение ААНИИ с сохранением точности расчетов и оценке статистических параметров по гистограмме распределения и свободно-распространяемое программное обеспечение GDAL для векторизации полей климатических параметров.

Исходная информация в формате ВМО СИГРИЗ доступна на сервере МЦД МЛ по адресам <a href="http://wdc.aari.ru/datasets/d0004">http://wdc.aari.ru/datasets/d0004</a> (карты КЛС), <a href="http://wdc.aari.ru/datasets/d0031">http://wdc.aari.ru/datasets/d0031</a> (карты КЛС), <a href="http://wdc.aari.ru/datasets/d0032">http://wdc.aari.ru/datasets/d0032</a> (карты НЛЦ).

В графическом формате PNG совмещенные карты ААНИИ-КЛС-НЛЦ доступны по адресу http://wdc.aari.ru/datasets/d0040.

Результаты расчетов ледовитости Северной, Южной полярных областей, отдельных меридиональных секторов и морей доступны также на сервере МЦД МЛ ААНИИ (http://wdc.aari.ru/datasets/ssmi/data/).

Cavalieri, D., C. Parkinson, P. Gloersen, and H. J. Zwally. 1996, updated 2008. *Sea Ice Concentrations from Nimbus-7 SMMR and DMSP SSM/I Passive Microwave Data*, [1978.10.26 – 2007.12.31]. Boulder, Colorado USA: National Snow and Ice Data Center. Digital media.

Meier, W., F. Fetterer, K. Knowles, M. Savoie, M. J. Brodzik. 2006, updated quarterly. *Sea Ice Concentrations from Nimbus-7 SMMR and DMSP SSM/I Passive Microwave Data*, [2008.01.01 – 2008.03.25]. Boulder, Colorado USA: National Snow and Ice Data Center. Digital media.

Maslanik, J., and J. Stroeve. 1999, updated daily. *Near-Real-Time DMSP SSM/I-SSMIS Daily Polar Gridded Sea Ice Concentrations*, [2008.03.26 – present moment]. Boulder, Colorado USA: National Snow and Ice Data Center. Digital media.